

北海道大学

正員

角田与史雄

〃

〃

奈良文

1. まえがき

従来、コンクリート構造物の設計における安全性の評価は、経験的主観的判断に依存する面が強かつたが、近年これをより客観的評価に基づくとする要望が強まり、破壊の生起確率または非破壊に対する信頼性がその有力な手法の一つとして活躍する研究が行なわれるようになった。しかし、コンクリート構造物の耐荷性状は非常に複雑であり、数多くの不確定性要因を含んでいたため、これを実用化するには今後解明してゆかなければならぬ問題が多く残されている。本研究はこれらの中から2, 3の点について概略的な検討を行なったものである。

2. 破壊確率の意義について

いま、ある構造物のある限界状態について考え、それに応する部材の抵抗をR、単位時間当たりの最大荷重作用をSとするとき、これらが相互に独立した確率変数であり、それらの確率密度函数、分布函数をそれぞれ $f_R(x)$ 、 $F_S(x)$ によって表わせるとすれば、目標耐用期間に対する破壊確率は一般に次式によって表わすことができる；

$$P = 1 - \bar{P} = 1 - P\left\{\sum_{i=1}^n (S_i < R)\right\} = 1 - \int_0^\infty f_R(x) [F_S(x)]^n dx \quad (1)$$

$\bar{P} \ll 1$ の場合には高次の項を無視し、近似的に次式によってやを求めることができる；

$$P = n \int_0^\infty f_R(x) \{1 - F_S(x)\} dx \quad (2)$$

上式のやまたはその余事象の確率 \bar{P} （信頼性）は、構造物の崩壊のようすに事実上生じてはならない限界状態に対しては合理的な安全性評価を与える。しかし、比較的簡単な補修ですむような軽微な損傷に対しては、むしろ広義の経済性概念に基づく安全性指標を用いる方が合理的と考える。この場合、耐用期間の期待値に基く単位時間当たりの平均的破壊確率、(3)式、または期間中の破壊の生起回数期待値に基く(4)式が有用であろう。

$$\bar{P} = 1 / \int_0^\infty f_R(x) F_S(x) / \{1 - F_S(x)\} dx \quad (3)$$

$$P = \sum_{i=1}^{n-1} \sum_{j=i+1}^n \bar{P}(i-j, R) \bar{P}(j, \bar{y}) \quad (4)$$

$$\bar{P}(i, \bar{y}) = 1 - \int_0^\infty f_R(x) [F_S(x)]^i dx \quad (i=j)$$

$$= \sum_{k=1}^{i-1} \bar{P}(i-k, R) \bar{P}(k, \bar{y}) \quad (i=j)$$

3. データ末端部の鋭敏性について

通常われわれが入手し得る統計データは、年間最大荷重のようすにある短期間当たりのものが多い。これに対しても構造物の破壊確率は(1)式に見られるように期間中の最大値 \bar{x}_n に依存するもの、すなわち $F_n(x) = [F_1(x)]^n$ または $f_n(x) = n f_1(x) [F_1(x)]^{n-1}$ である。図-1は、 x_1 が正規分布 $N(\bar{x}_1, \sigma_1^2)$ に従うときの x_n の期待値 \bar{x}_n および標準偏差 σ_n の、 n に伴なう変化について示したものであり、 $n=20$ においてすでに \bar{x}_n が \bar{x}_1 から36%以上の移動を生ずることがわかる。このため破壊確率に対して x_1 の統計データの

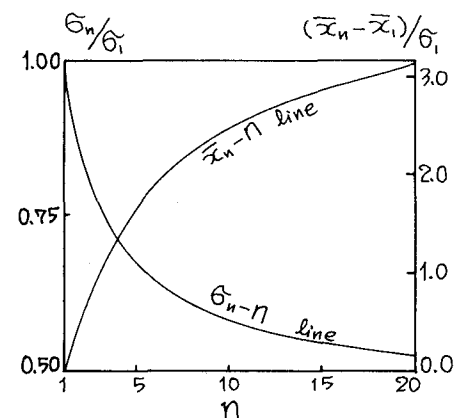


図-1 平均値、標準偏差の
 n に伴なう変化

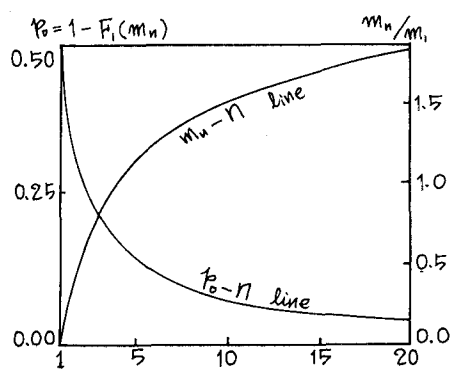


図-2 中央値、破壊確率の
 n に伴なう変化

末端部が非常に重要な役割をもつことになる。図-2は上記と同じ場合について、 X_n の中央値 M_n および M_n に対する \bar{x} の超過確率 $P_s = P\{X_i > M_n\} = 1 - F_s(M_n)$ の間に伴う変化について示したもので、これより X_n についての統計的性質を正確に把握するためには例えば $n=20$ において M_{20} は $2M_1$ 位であるので X_1 の超過確率が約 $1/30$ の点の周辺を十分に包含するデータ数が必要であることがわかる。

4. 特性値と破損確率について

実際の構造物の設計施工管理においては、耐力と荷重作用とを独立に制御する方法が一般に受け入れられている。この場合の設計条件は、特性値 K_R および K_S を導入して

$$K_R/K_S \geq r, \quad K_R = F_R^{-1}(P_R), \quad K_S = F_S^{-1}(1-P_S) \quad (5)$$

この場合、例えば R および S がそれを既定 V_R および V_S の変動係数をもつ正規分布に従うとき、破損確率は次式のようになる；

$$\gamma \leq 1 - \frac{r^2 - 1 - rV_S \text{至}^2(P_S) - V_R \text{至}^2(P_R)}{\sqrt{r^2 V_R^2 (1 - V_S \text{至}^2(P_S))^2 + V_S^2 (1 + V_R \text{至}^2(P_R))^2}} \quad (6)$$

従って、もしも r の値を固定すれば、例え特性値の決定に確率的考慮を入れたとしても得られる破損確率値は V_R の影響を受けることになる。図-3はその一例を示したものであり、逆に、破損確率値を一定にしようとすれば、図-4にその一例を示すように品質管理の程度に応じて r の値を変化させなければならないことがわかる。

5. 実験式と破損確率について

コンクリート部材の耐力は一般に多数の変数の関数として与えられるのが普通である。すなわち

$$R = h(X_1, X_2, \dots, X_n) \quad (7)$$

この場合、 R の期待値および分散は近似的に次式により得られる；

$$M_R = h(M_{X_1}, M_{X_2}, \dots, M_{X_n}) \quad (8)$$

$$\Omega_R^2 = \sum_{i=1}^n (\partial h / \partial X_i)^2 n G_{X_i}^2$$

上式は $\partial h / \partial X_i$ が $X_i = M_{X_i}$ において連続の場合にのみ有効である。しかし実際には R が断面の軸圧縮耐力に対する荷重偏心誤差 $\delta = e / R$ の影響のように $\partial h / \partial X_i$ が不連続の場合にもしばしば出会う。いま、その一例として $R = XY$, $Y = G(\delta)$ とし、 X と δ とが独立した確率密度の場合について考えれば、 R の確率密度函数は次のようになる；

$$f_R(R) = \int_{-\infty}^{\infty} f_X(x) f_G(R/x) [|\partial g/\partial Y|_- + |\partial g/\partial Y|_+] / X \cdot dX \quad (9)$$

図-5はCEB/FIPの应力ブロックを用いたときのRC断面の軸圧縮耐力に対して、施工誤差による荷重偏心があるときの確率密度函数を計算した例を示したものであり、上述のような確率論的取扱いをすることにより、柱の実験データが耐力の低い方へ偏ってばらつくという経験的性質を理論的に捉えることができる。

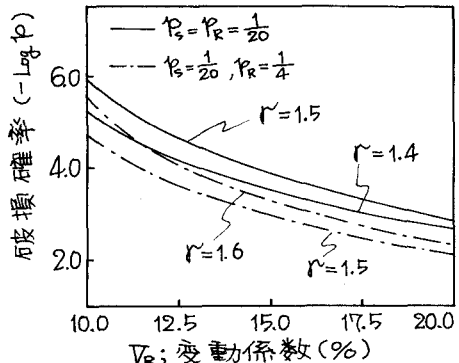


図-3 r が一定の場合の石皮損確率の V_R による変化

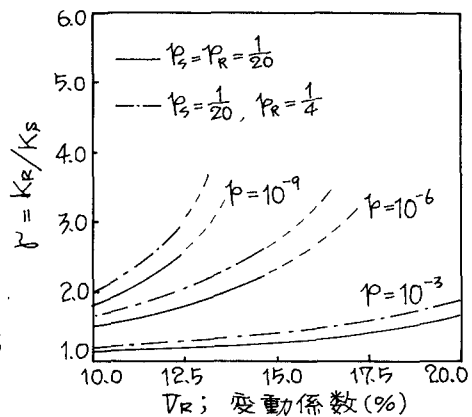


図-4 破損確率値を一定とする場合の r の V_R による変化

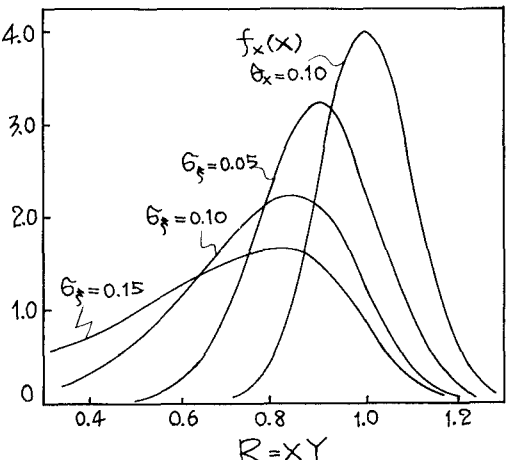


図-5 $R = XY$ の確率密度函数